

การหาขนาดกริดที่เหมาะสมสำหรับการจำลองเพลิงไฟมีภายในอาคาร An Optimum Grid Size for a Simulation of Building Fire

ณัฐศักดิ์ บุญมี

ภาควิชาวิศวกรรมเครื่องกล คณะวิศวกรรมศาสตร์ มหาวิทยาลัยเกษตรศาสตร์ บางเขน กรุงเทพฯ 10900
โทร 0-2942-8555 โทรสาร 0-2579-4576 อีเมล์ fengnab@ku.ac.th

Nathasak BOONMEE

Department of Mechanical Engineering, Faculty of Engineering, Kasetsart University, Bangkok 10900, Thailand,
Tel: 0-2942-8555, Fax: 0-2576-4576, Email: fengnab@ku.ac.th

บทคัดย่อ

วัตถุประสงค์ของบทความฉบับนี้เป็นการหาขนาดกริดที่เหมาะสมเพื่อใช้ในการจำลองเพลิงไฟมีภายในอาคาร การทดลองเชิงตัวเลขได้ทำโดยใช้โปรแกรมพลาสต์ของไอลเซิงคำนวน (CFD) ชื่อ FDS (Fire Dynamics Simulator) version 4 ซึ่งพัฒนาโดย NIST (National Institute of Standards and Technology, ประเทศสหรัฐอเมริกา) โปรแกรม FDS ใช้ระเบียบวิธี Large Eddy Simulation (LES) สำหรับการจำลองสภาพการไฟล์แบบบันปวน และ mixture-fraction-based infinitely fast chemical reaction สำหรับจำลองการเผาไหม้มีของเชื้อเพลิงกับอากาศ โดยmen ในการคำนวนมีขนาดกว้าง 8 เมตร ยาว 8 เมตร และ สูง 16 เมตร กองเพลิงขนาด 1 ตารางเมตร ได้ถูกกว้างไว้ที่กึ่งกลางของพื้นด้านล่างของโดยmen การคำนวนขนาดกริดในท่อนของตัวแปรไร้หน่วย R^* ในช่วงตั้งแต่ 0.052 ถึง 0.259 และ อัตราการปล่อยพลังงานความร้อนของกองเพลิงขนาดตั้งแต่ 500 kW ถึง 1500 kW ได้ถูกใช้ในการคำนวน ผลจากการคำนวนอันประกอบด้วยอุณหภูมิและความเร็วของลักษณะ ถูกนำไปเปรียบเทียบกับสมการที่ได้จากการทดลอง จากการศึกษาพบว่า ขนาดกริด R^* ในช่วง 0.110 ถึง 0.171 เป็นขนาดที่เหมาะสมที่สุดเมื่อคำนึงถึงเวลาในการคำนวนและความแม่นยำของผลการคำนวน ผลจากการศึกษาระงับนี้จะนำไปประยุกต์ใช้ในการจำลองเพลิงไฟมีของอาคารหลังใหม่ ของภาควิชา工ศวกรรมเครื่องกล มหาวิทยาลัยเกษตรศาสตร์ ซึ่งจะเป็นก้าวต่อไปสำหรับโครงการนี้

Abstract

The objective of this paper is to find an optimum grid size for a building fire simulation. A numerical experiment is performed by a freeware CFD program called FDS (Fire Dynamics

Simulator) version 4 developed by NIST (National Institute of Standards and Technology, USA.). FDS uses Large Eddy Simulation (LES) for turbulence, and a mixture-fraction-based infinitely fast chemical reaction for combustion. The computational domain is 8 m by 8 m with 16 m height. A 1 m² fire source is placed at the center of the computational domain floor. Dimensionless grid sizes ranging from 0.052 to 0.259 and heat release rates ranging from 500 kW to 1500 kW are used in the simulations. The simulation results are compared with fire plume empirical correlations for plume centerline temperatures and velocities. With reasonable computational time and accuracy, the study found that the optimum grid size in term of dimensionless variable R^* is in the range of 0.110 to 0.171. This result will be used from a building fire simulation for a new Mechanical Engineering building, Kasetsart University, which will be a next step for this project.

คำสำคัญ: Fire modeling, Fire Dynamics Simulator, แบบจำลองเพลิงไฟ

1. บทนำ

ปัจจุบันการใช้แบบจำลองเพลิงไฟมีพลาสต์ของไอลเซิงคำนวน (CFD fire modeling) ในการประเมินสภาพภัยในห้องขณะเกิดเพลิงไฟ เพื่อใช้ในการออกแบบบ้านอันอันดับความคุ้มค่าน้ำ ไฟภายในอาคารให้เกิดประสิทธิภาพสูงสุด ได้ใช้กันกว้างขวางและเป็นที่ยอมรับมากขึ้น ตัวอย่างโปรแกรมพลาสต์ของไอลเซิงคำนวนที่มีความสามารถอย่างรวมถึงความสามารถในการคำนวนเกี่ยวกับพฤษิตกรรมการเคลื่อนที่ของควันอันเนื่องมาจากเพลิงไฟมี เช่น

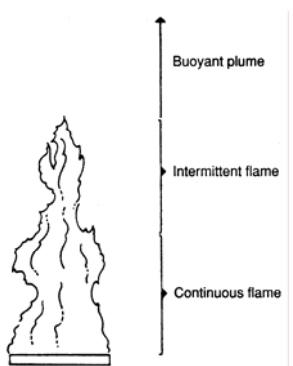
FLUENT, SOFIE, CFX, PHOENICS, STAR-CD, และ FDS (Fire Dynamics Simulator) เป็นต้น ในบรรดาโปรแกรมที่กล่าวมาข้างต้นนี้ FDS เป็นโปรแกรมที่ได้รับการพัฒนาขึ้นมาโดยเฉพาะสำหรับวิเคราะห์ปัญหาด้านอัคคีภัย [1, 2] จาก National Institute of Standards and Technology (NIST) ประเทศสหรัฐอเมริกา

การศึกษานี้ได้ใช้โปรแกรม FDS version 4.0 ในการทำการทดลองเชิงตัวเลขเพื่อเปรียบเทียบผลอุณหภูมิและความเร็วของลำควันในช่วงต่างๆ กับสมการของลำควันที่ได้จากการทดลองโดยมีวัดถูกประสงค์เพื่อหาขนาดกริดที่เหมาะสมซึ่งให้ผลการคำนวณที่แม่นยำ ในช่วงพลุ่ม และใช้เวลาในการคำนวณที่เหมาะสม ผลจากการศึกษานี้จะนำไปใช้ในการจำลองพฤติกรรมของเพลิงไหม้และการกระจายตัวของควันไฟภายในอาคารหลังใหม่ของภาควิชาชีวกรรมเครื่องกล มหาวิทยาลัยเกษตรศาสตร์

2. ทฤษฎี

2.1 ทฤษฎีของลำควัน (Plume theory)

ลำควันหรือพลุ่ม (plume) คือลักษณะของควันร้อนซึ่งเป็นแก๊สผลิตภัณฑ์จากการเผาไหม้หลอยตัวขึ้นไปในแนวตั้งเนื่องจากแรงดึงดัน สำหรับลำควันแบบสมมาตร (axisymmetric plume) ดังแสดงในรูปที่ 1 McCaffrey [3] ได้แบ่งช่วงของลำควันสมมาตรออกเป็น 3 ช่วงคือ



รูปที่ 1. ลำควันสมมาตร (Axisymmetric plume), นำมาจาก [3]

1) ช่วงเปลวไฟต่อเนื่อง (Continuous flame) คือช่วงความสูงซึ่งวัดจากผิวน้ำของกองเพลิงจนถึงระดับสูงสุดที่มีเปลวไฟปรากฏอยู่อย่างต่อเนื่องตลอดเวลา เนื่องจากช่วงนี้เป็นช่วงที่เชื้อเพลิงและอากาศเกิดการเผาไหม้ อุณหภูมิของลำควันในช่วงนี้จึงมีค่าสูงซึ่งโดยประมาณจะเท่ากับอุณหภูมิของเปลวไฟนั้นเอง

2) ช่วงเปลวไฟบางส่วน (Intermittent flame) คือช่วงความสูงที่การเผาไหม้ของเชื้อเพลิงกับอากาศเกือบจะสมบูรณ์แล้วทำให้เมื่องหินเปลวไฟปรากฏอยู่เพียงบางส่วนบางช่วงเวลาไม่ต่อเนื่อง ความเร็วการไหลในแนวตั้งของลำควันจะมีค่าต่ำกว่าช่วงคงที่ การไหลเติมของอากาศจากภายนอกเข้ามาผสานกับควันทำให้อัตราการไหลของลำควันเพิ่มขึ้นตามความสูง

3) ช่วงพลุ่ม (Plume) เป็นช่วงที่การเผาไหม้ของเชื้อเพลิงเสร็จสมบูรณ์แล้ว ดังนั้นลำควันในช่วงนี้จะประกอบไปด้วยควันร้อนและอากาศซึ่งไหลเดิมจากบรรยากาศโดยรอบเท่านั้น ความเร็วและ

อุณหภูมิของลำควันในช่วงนี้จะแปรผกผันกับความสูงเนื่องจากมีอุณหภูมิซึ่งยังคงไว้โดยรอบไฟให้เข้ามาผสานเจือจางทำให้ควันเย็นลง

จากการศึกษาพิจารณาของลำควันโดยการทำการทดลอง McCaffrey [3] ได้เสนอสมการจากการทดลองเพื่อประมาณค่าอุณหภูมิและความเร็วของลำควันที่ระดับความสูงต่างๆ ตามแนวแกนของลำควัน (plume centerline) ดังนี้

อุณหภูมิของลำควัน

ช่วงเปลวไฟต่อเนื่อง เมื่อ $z/\dot{Q}^{2/5} < 0.08$:

$$\Delta T_0 = T_0 - T_\infty = 2.91 T_\infty \quad (1.1)$$

ช่วงเปลวไฟบางส่วน เมื่อ $0.08 < z/\dot{Q}^{2/5} < 0.2$:

$$\Delta T_0 = T_0 - T_\infty = 0.227 \left(\frac{\dot{Q}^{2/5}}{z} \right) T_\infty \quad (1.2)$$

ช่วงพลุ่ม เมื่อ $z/\dot{Q}^{2/5} > 0.2$:

$$\Delta T_0 = T_0 - T_\infty = 0.076 T_\infty \left(\frac{\dot{Q}^{2/5}}{z} \right)^{5/3} \quad (1.3)$$

ความเร็วของลำควัน

ช่วงเปลวไฟต่อเนื่อง เมื่อ $z/\dot{Q}^{2/5} < 0.08$:

$$u_0 = 6.8 z^{1/2} \quad (2.1)$$

ช่วงเปลวไฟบางส่วน เมื่อ $0.08 < z/\dot{Q}^{2/5} < 0.2$:

$$u_0 = 1.9 \dot{Q}^{1/5} \quad (2.2)$$

ช่วงพลุ่ม เมื่อ $z/\dot{Q}^{2/5} > 0.2$:

$$u_0 = 1.1 z^{-1/3} \dot{Q}^{1/3} \quad (2.3)$$

โดย T_0 คืออุณหภูมิของลำควัน (K), T_∞ คืออุณหภูมิสิ่งแวดล้อม (เท่ากับ $298K$), u_0 คือความเร็วของลำควัน (m/s) z คือความสูงในแนวตั้งวัดจากผิวน้ำของเชื้อเพลิง, และ \dot{Q} คืออัตราการปล่อยพลังงานความร้อนของกองเพลิง (kW)

นอกจากสมการของ McCaffrey Heskestad [4] ได้เสนอสมการสำหรับการคำนวณอุณหภูมิและความเร็วของลำควันในช่วงพลุ่ม ($z/\dot{Q}^{2/5} > 0.2$) โดย

$$\Delta T_0 = 25 \left(\frac{\dot{Q}_c^{2/5}}{(z - z_0)} \right)^{5/3} \quad (3.1)$$

$$u_0 = \left(\frac{\dot{Q}_c}{(z - z_0)} \right)^{1/3} \quad (3.2)$$

โดย

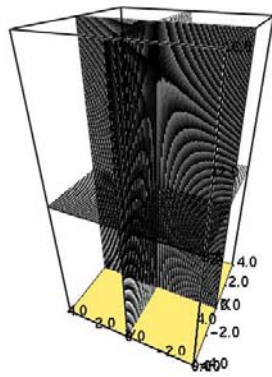
$$z_0 = 0.083\dot{Q}^{2/5} - 1.02D \quad (3.3)$$

เมื่อ \dot{Q}_c คือ อัตราการปล่อยพลังงานความร้อนของกองเพลิงโดย การพากามร้อน (kW) โดย $\dot{Q}_c = 0.7\dot{Q}$, z_0 จุดกำเนิดเสมือนของกองเพลิง (virtual origin, m), และ D คือเส้นผ่านศูนย์กลางกองเพลิง (m), โดย $D = \sqrt{4A/\pi}$, A คือ พื้นที่ของกองเพลิง (m^2)

2.2 แบบจำลองเพลิงใหม่พลาสติกของไฟลเชิงคำนวณโดยโปรแกรม Fire Dynamics Simulator (FDS)

โปรแกรม Fire Dynamics Simulator (FDS) [1, 2] ใช้ระเบียบวิธีปริมาตรจำกัด (finite volume method) ในการแก้สมการการเคลื่อนที่และสมการพลังงานของของไฟล และใช้ระเบียบวิธี Large Eddy Simulation (LES) โดยใช้ subgrid scale model ของ Smagorinsky สำหรับการจำลองสภาวะการไฟลแบบบันปวน ในส่วนของการเผาไหม้ เพื่อแก้ปัญหาขนาดของกริดซึ่งไม่สามารถทำให้ล้อดเพียงพอที่จะจำลองพฤติกรรมการเผาไหม้ของเชื้อเพลิงกับอากาศในการคำนวณซึ่งมีโอดemenการคำนวณขนาดใหญ่ FDS ได้ใช้แบบจำลอง mixture-fraction-based infinitely fast chemical reaction บนสมมุติฐานที่ว่า อัตราการเผาไหม้ของเชื้อเพลิงกับอากาศถูกควบคุมโดยอัตราการที่เชื้อเพลิงกับอากาศเข้าผสมกัน (mixing controlled) ทันทีที่เชื้อเพลิงกับอากาศเข้าผสมกันเชื้อเพลิงจะทำปฏิกิริยา กับอากาศอย่างรวดเร็ว (infinitely fast chemical reaction) ได้เป็นแก๊สผลิตภัณฑ์การเผาไหม้ที่เกิดจากการเผาไหม้โดยสมบูรณ์ ข้อมูลเพิ่มเติมสำหรับโปรแกรม FDS สามารถหาได้จากเอกสารอ้างอิง [1, 2]

3. การจำลองเชิงตัวเลข



รูปที่ 2. ตัวอย่างโอดemenการคำนวณและการสร้างกริดในการจำลอง พฤติกรรมของลำควัน

งานวิจัยนี้ใช้โปรแกรม FDS version 4.0 เพื่อศึกษาพฤติกรรมของลำควันโดยมีตัวถูกประสีก์หลักเพื่อหาขนาดกริดที่เหมาะสมในคำนวณอุณหภูมิและความเร็วของลำควันในช่วงพกุณ การคำนวณได้

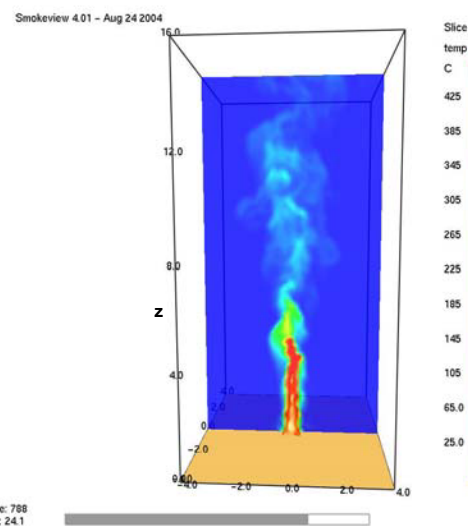
ดำเนินภายในโอดemenการคำนวณขนาดกว้าง 8 เมตร ยาว 8 เมตร และ สูง 16 เมตร (ยกเว้นกรณีที่ 6 มีโอดemenขนาด 4 เมตร x 4 เมตร x 16 เมตร) กองเพลิงรูปสี่เหลี่ยมจัตุรัส ถูกว่างไว้ที่กึ่งกลางของผิวด้านล่าง ของโอดemenการคำนวณ รูปที่ 2 แสดงโอดemenการคำนวณ และการสร้างกริด ซึ่งใช้ในการศึกษานี้ ค่าพารามิเตอร์สำหรับการคำนวณแต่ละกรณี ได้แสดงไว้ในตารางที่ 1

ตารางที่ 1 ค่าพารามิเตอร์ที่ใช้ในการคำนวณ

กรณีที่	ขนาดกริด ($\Delta x \times \Delta y \times \Delta z$) (m)	จำนวน ปริมาตรจำกัด	\dot{Q} (kW)	R^*
1	0.25x0.25x0.25	32x32x64	1000	0.259
2	0.20x0.20x0.20	40x40x80	1000	0.207
3	0.125x0.125x0.125	64x64x128	1000	0.129
4	0.10x0.10x0.10	80x80x160	1000	0.103
5	0.08x0.08x0.08	100x100x200	1000	0.083
6	0.05x0.05x0.05	80x80x320	1000	0.052
7	0.125x0.125x0.125	64x64x128	500	0.171
8	0.125x0.125x0.125	64x64x128	1500	0.110

4. ผลการจำลองและวิเคราะห์ผลการจำลอง

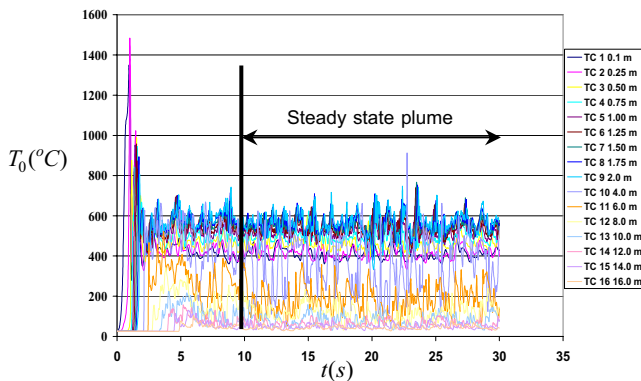
การคำนวณในทุกกรณีได้ดำเนินบนคอมพิวเตอร์ส่วนบุคคล Pentium 4 3.2 GHz Ram 1 GB ในการจำลองกองเพลิงจะใช้เวลาประมาณ 5 วินาทีของการจำลองเพื่อเข้าสู่สภาวะคงตัว (steady state) จากนั้นการคำนวณจะดำเนินไปเป็นเวลา 30 วินาที ภาพ snap short ของอุณหภูมิบนระบบผ่านแนวกึ่งกลางกองเพลิงจากการจำลองในกรณีที่ 3 ($\dot{Q} = 1000 \text{ kW}$, $R^* = 0.129$) ได้แสดงไว้ในรูปที่ 3



รูปที่ 3 ภาพ Snap shot of temperature field at plane $y = 0$, $t = 24.1\text{s}$, $\dot{Q} = 1000 \text{ kW}$, $R^* = 0.129$ (กรณีที่ 3)

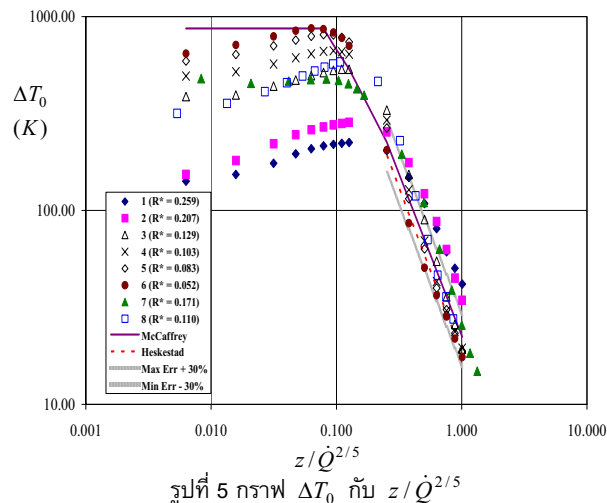
อุณหภูมิและความเร็วของลำควันที่ระดับความสูงต่างๆ ในสภาวะคงตัวจะได้จากค่าเฉลี่ยของอุณหภูมิและความเร็วของลำควันในช่วงเวลา 10 ถึง 30 วินาทีของการคำนวณ รูปที่ 4 แสดงตัวอย่างผล

การคำนวณอุณหภูมิของลำคันที่ระดับความสูงต่าง ๆ กับเวลาจากการจำลองในกรณีที่ 3 ($\dot{Q} = 1000 \text{ kW}$, $R^* = 0.129$) ค่าเฉลี่ยของอุณหภูมิและความเร็วของลำคันจะใช้เป็นค่าอุณหภูมิและความเร็วของลำคันซึ่งคำนวนได้จาก FDS เพื่อนำไปเปรียบเทียบกับค่าที่คำนวนได้จากสมการของ McCaffrey



รูปที่ 4 พลังงานอุณหภูมิของลำคันที่ระดับความสูงต่าง ๆ กับเวลา สำหรับการจำลองกรณีที่ 3 ($\dot{Q} = 1000 \text{ kW}$, $R^* = 0.129$)

รูปที่ 5 แสดงผลลัพธ์ของอุณหภูมิของลำคันที่ได้จากการคำนวนด้วย FDS กับพารามิเตอร์ $z/\dot{Q}^{2/5}$ เปรียบเทียบกับค่าอุณหภูมิของลำคันที่คำนวนจากสมการที่ (1) ในช่วงพลุ ($z/\dot{Q}^{2/5} > 0.2$) อุณหภูมิของลำคันคำนวนจากสมการของ Heskestad (สมการที่ (3.1)) ได้ผลลัพธ์ลงบนกราฟดังแสดงในรูปที่ 5 จากการพิพบว่าอุณหภูมิของลำคันคำนวนจากสมการของ Heskestad ประมาณอุณหภูมิของลำคันต่ำกว่าค่าอุณหภูมิที่คำนวนจากสมการของ McCaffrey ดังนั้นเราอาจใช้ค่าอุณหภูมิของลำคันจากสมการของ Heskestad เป็นขอบเขตล่างของค่าอุณหภูมิที่ได้จากการทดลองและค่าอุณหภูมิจากสมการของ McCaffrey เป็นขอบเขตบนในการเปรียบเทียบอุณหภูมิของลำคันซึ่งคำนวนจาก FDS กับอุณหภูมิซึ่งคำนวนได้จากสมการที่ได้จากการทดลอง



ในการจำลองพุทธิกรรมของลำคัน ขนาดกริดที่เหมาะสมนอกจากจะสามารถจำลองพุทธิกรรมการเคลื่อนที่ของควันได้แล้ว

ขนาดของกริดที่เหมาะสมควรจะนำเอาผลกระบวนการอัตราการปล่อยพลังงานความร้อนของกองเพลิงต่อพุทธิกรรมการเคลื่อนที่ของควันมาพิจารณาด้วย Ma และ Quintiere [5] ใช้ FDS version 2.0 ในการจำลองพุทธิกรรมการเผาไหม้ของอ่างไฟ (pool fire) และการเคลื่อนที่ของลำคันโดยได้เสนอพารามิเตอร์ไว้หน่วย R^* เพื่อเป็นตัวแทนสำหรับขนาดกริดที่เหมาะสมซึ่ง

$$R^* = \frac{\Delta z}{\left(\frac{\dot{Q}}{\rho_\infty c_p T_\infty \sqrt{g}} \right)^{2/5}} \quad (4)$$

เมื่อ R^* คือ ขนาดของกริดในเทอมตัวแปรไว้หน่วย, Δz คือ ขนาดของกริด (m), ρ_∞ , T_∞ , และ c_p คือ ความหนาแน่น, อุณหภูมิ, และ ความจุความร้อนจำเพาะของอากาศที่อุณหภูมิห้องตามลำดับ และ g คือ ความเร่งเนื่องจากแรงโน้มถ่วงของโลก (9.81 m/s^2)

ค่า R^* สำหรับการคำนวนในแต่ละกรณีได้แสดงไว้ในตารางที่ 1 โดยการใช้ค่าอุณหภูมิของลำคันคำนวนจากสมการที่ (1) เป็นค่าอ้างอิง เปอร์เซ็นต์ความคลาดเคลื่อนของอุณหภูมิของลำคันที่คำนวนจาก FDS กับค่าอ้างอิงสามารถคำนวณได้ดังในสมการที่ (5)

$$\%Error = \frac{|\Delta T_0 - Cal - \Delta T_0 - Ref| \times 100\%}{\Delta T_0 - Ref} \quad (5)$$

โดย $\%Error$ คือเปอร์เซ็นต์ความคลาดเคลื่อน $\Delta T_0 - Cal$ คือ อุณหภูมิของลำคันคำนวนจาก FDS และ $\Delta T_0 - Ref$ คืออุณหภูมิของลำคันคำนวนจากสมการที่ (1)

ถ้ากริดมีขนาดเล็กลงค่าเปอร์เซ็นต์ความคลาดเคลื่อนจะมีค่าลดลงอย่างไรก็ตามเวลาที่ใช้ในการคำนวนก็จะเพิ่มขึ้นดังแสดงในตารางที่ 2 ถ้าจำกัดให้เปอร์เซ็นต์ความคลาดเคลื่อนอยู่ภายใน $\pm 30\%$ และเวลาที่ใช้ในการคำนวนไม่เกิน 10 ชั่วโมง กริดขนาด R^* ในช่วง 0.110 ถึง 0.171 จะเป็นขนาดกริดที่เหมาะสมที่สุดสำหรับการจำลองในครั้งนี้

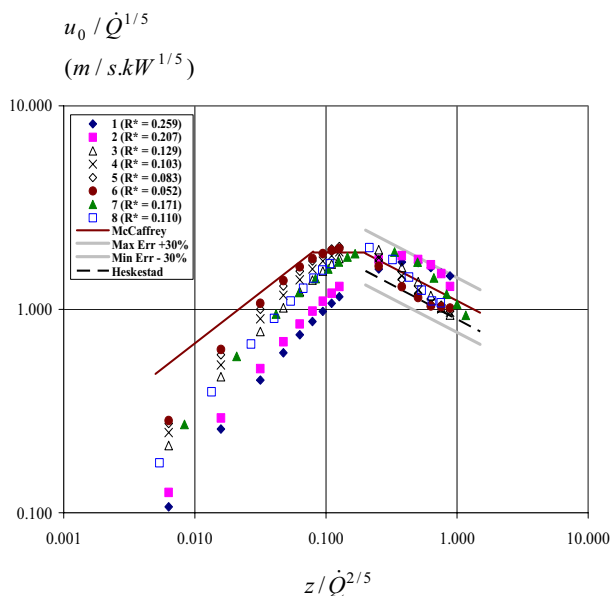
ตารางที่ 2 เปอร์เซ็นต์ความคลาดเคลื่อนของอุณหภูมิของลำคันในช่วงพลุ ($z/\dot{Q}^{2/5} > 0.2$) และ เวลาที่ใช้ในการคำนวน (CPU time)

กรณีที่	R^*	Max %Error	Min % Error	CPU Time	หมายเหตุ
1	0.259	81%	53%	8 mins	
2	0.207	79%	61%	24 mins	
3	0.129	27%	0%	2 hrs 28 mins	Optimum
4	0.103	16%	2%	6 hrs 1 min	Optimum
5	0.083	18%	10%	15 hrs 14 mins	
6	0.052	28%	21%	21 hrs 1 min	
7	0.171	27%	5%	2 hrs	Optimum
8	0.110	28%	2%	1 hrs 45 mins	Optimum

Ma และ Quintiere พบว่า $R^* = 0.05$ จะให้ผลการคำนวนอุณหภูมิของลำคันในช่วงเปลวไฟต่อเนื่อง (continuous flame) มี

ความแม่นยำสูงสุด ทั้งนี้เพื่อขอเสนอการคำนวณของกิริดามาร์ทจำลองพุติกรรมการเผาไหม้ของเปลวไฟได้อย่างไรก็ตามในการจำลองเพลิงไหม้ของอาคารซึ่งมีโมเดลของการคำนวณขนาดใหญ่ ($8 \text{ m} \times 8 \text{ m} \times 10 \text{ m}$ ในการคำนวณนี้ จึง $30 \text{ m} \times 60 \text{ m} \times 20 \text{ m}$ ในกรณีคำนวณอาคารทั้งหลัง) R^* ค่าดังกล่าวอาจไม่เหมาะสมเนื่องจากจะต้องเสียเวลาในการคำนวณมากเนื่องจากมีจำนวนปริมาตรจำกัดมาก นอกเหนือไปนี้ผลการคำนวณที่สนใจในการจำลองเพลิงไหม้ของอาคารจะอยู่ในช่วงพลูมซึ่งเราสามารถใช้ขนาดของกิริดที่ใหญ่กว่าได้เนื่องจากในช่วงพลูมมี length scale ที่ใหญ่กว่าในช่วงเปลวไฟต่อเนื่อง

รูปที่ 6 แสดงกราฟระหว่างความเร็วของลำควันกับพารามิเตอร์ $z/\dot{Q}^{2/5}$ ในช่วงพลูมความเร็วของลำควันคำนวณจาก FDS มีเบอร์เซ็นต์ความคลาดเคลื่อนอยู่ภายใน $\pm 30\%$ ของขนาดกิริดทุกค่า R^* ในช่วงพลูมความเร็วของควันมีค่าลดลงเมื่อความสูงเพิ่มขึ้น ทั้งนี้เนื่องมาจากอุณหภูมิของควันจะลดลงตามความสูงที่เพิ่มขึ้น เนื่องจากควันมีการผสานกับอากาศโดยรอบมากขึ้นทำให้ควันเจือจางลง เมื่ออุณหภูมิของควันลดลง แรงลอยด์ตัวจะมีค่าลดลงทำให้ความเร็วของควันลดลงผกผันกับความสูง



รูปที่ 6 กราฟ $u_0 / \dot{Q}^{1/5}$ กับ $z / \dot{Q}^{2/5}$

5. สรุป

การศึกษาที่ใช้กิริดขนาด R^* เท่ากับ 0.052 ถึง 0.252 ในการคำนวณ เมื่อนำผลการคำนวณจาก FDS เปรียบเทียบกับค่าอุณหภูมิและความเร็วของลำควันซึ่งคำนวณมาจากสมการที่ได้จากการทดลองในช่วงพลูมพบว่ากิริดขนาด R^* ในช่วง 0.110 ถึง 0.171 สามารถใช้ในการคำนวณได้เหมาะสมที่สุด

เอกสารอ้างอิง

- McGrattan, K. and G. Forney, *Fire Dynamics Simulator (Version 4) User's Guide*. 2004, National Institute of Standards and Technology: Gaithersburg, MD.

- McGrattan, K., *Fire Dynamics Simulator (Version 4) Technical Reference Guide*. 2004, National Institute of Standards and Technology: Gaithersburg, MD.
- McCaffrey, B.J., *Purely Buoyant Diffusion Flames: Some Experimental Results*. 1979, National Bureau of Standards: Gaithersburg, MD.
- Heskstad, G., *Chapter 2-2 Fire Plumes*, in *SFPE Handbook of Fire Protection Engineering*, P.J. DiNenno, Editor. 1995, National Fire Protection Association: Quincy, MA.
- Ma, T.G. and J.G. Quintiere, *Numerical Simulation of axi-symmetric fire plumes: accuracy and limitations*. Fire Safety Journal, 2003. 38: p. 467-492.